

충격반응수열을 이용한 최대길이를 갖는 셀룰라 오토마타의 위상이동차 계산 알고리즘†

최언숙*, 김진경**, 황윤희***, 김한두****, 조성진*****

*동명대학교 멀티미디어공학과, **부경대학교 응용수학과

부경대학교 정보보호학과, *인제대학교 컴퓨터응용과학부

*****부경대학교 수리과학부

Computation Algorithm for the Phase Shifts of Maximum Length Cellular Automata by Using Impulse Response Sequence†

Un-Sook Choi*, Jin-Gyoung Kim**, Yoon-Hee Hwang***

Han-Doo Kim****, Sung-Jin Cho*****

*Dept. of Multimedia Engineering, Tongmyong Univ.

**Dept. of Applied Mathematics, Pukyong National Univ.

***Dept. of Information Security, Pukyong National Univ.

****School of Computer Aided Science, Inje Univ.

*****Division of Mathematical Sciences, Pukyong National Univ.

요약

GF(2) 위에서 최대길이를 갖는 n -셀 90/150 셀룰라 오토마타의 각 셀은 길이가 $2^n - 1$ 인 수열을 생성한다. 이러한 셀룰라 오토마타의 임의의 셀에 대한 출력수열은 다른 셀에 대한 출력수열의 위치를 이동함으로써 얻을 수 있다. 본 논문에서는 주어진 셀룰라 오토마타의 상태전이행렬의 특성다항식에 의한 동차 선형점화식을 만족하는 충격반응수열을 이용하여 셀들의 위상이동차를 계산하는 알고리즘을 제안한다.

I. 서론

LFSR의 대안으로 제안된 셀룰라 오토마타(이하 CA)[1]는 LFSR과 달리 고품질의 PN 수열을 생성할 수 있으므로[2,3], 테스트 패턴 생성, 의사 난수열 생성기, 암호 및 서명과 같은 분야에서 응용되고 있다[4-11]. 가산 CA중 GF(2) 위에서 최대길이를 갖는 n -셀 90/150 CA의 각 셀들은 주기가 $2^n - 1$ 인 PN 수열을 생성한다. 이러한 CA의 임의의 셀에 대한 출력수열은 다른 셀에 대한 출력수열의 위치를 이동함으로써 얻을 수 있다.

그리고 LFSR과 달리, CA의 셀들에 대한 출력수열들의 위상이동차는 일반적으로 CA의 단계마다 다르다.

Bardell[2]은 로그함수를 이용하여 CA의 셀들 간의 위상이동차를 계산하는 알고리즘을 제안하였다. 이후 Chaudhuri[8]는 CA의 상태전이행렬을 이용하여 CA의 위상이동차를 계산하는 방법을 제안하였으며, Sarkar는 연립방정식의 해를 연이어 구함으로써 CA의 셀들 간의 위상이동차를 구하는 알고리즘을 제안하였고, 이 알고리즘을 스트림 암호의 설계에 응용하였다[5]. Sarkar에 의해 제안된 알고리즘은 Shank의 알고리즘을 바탕으로 하기 때문에 셀의 크기가 50미만이어야 한다. Cho 등[12]은 행위상이동

† 본 연구는 한국과학재단 목적기초연구지원사업(R01-2006-000-10260-0)에 의해 수행되었음.

차라는 새로운 개념을 도입하여 위상이동차를 구하는 새로운 알고리즘을 제안하여 Sarkar의 방법을 개선하였다.

본 논문에서는 PN수열을 생성하는 CA의 셀들의 위상이동차를 계산하는 새로운 알고리즘을 제안한다.

II. 90/150 CA의 위상이동차

CA는 규칙적인 방법에 의해 공간적으로 배열된 상호 연결된 셀들로 이루어진다. 여기서, 각 셀의 상태전이는 그 셀의 이웃에 의존한다. Wolfram[1]에 의해 조사된 CA의 구조는 셀들의 이산격자로 간주될 수 있다. 단, 각 셀의 값은 0 또는 1로 가정하고, 한 셀의 다음 상태는 자신과 인접한 두 셀(3-이웃)에 의존한다고 하자. 본 논문에서 다루는 CA의 전이규칙 90과 150은 다음과 같이 주어진다.

$$\text{규칙 } 90 : q_i^{t+1} = q_{i-1}^t \oplus q_{i+1}^t$$

$$\text{규칙 } 150 : q_i^{t+1} = q_{i-1}^t \oplus q_i^t \oplus q_{i+1}^t$$

단, \oplus 는 XOR 논리이고 q_i^t 는 t 번째 시간에서 i 번째 셀의 상태를 나타내고, q_{i-1}^t 와 q_{i+1}^t 는 자신의 왼쪽과 오른쪽 이웃 상태를 나타낸다.

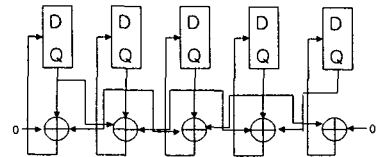
n -셀 90/150 CA는 선형 CA로 다음 상태를 나타내는 함수가 다음과 같은 $n \times n$ 삼중대각 행렬 T_n 으로 표현할 수 있고 이를 상태전이행렬이라 한다.

$$T_n = \begin{pmatrix} a_1 & 1 & 0 & 0 & 0 & \cdots & 0 & 0 \\ 1 & a_2 & 1 & 0 & 0 & \cdots & 0 & 0 \\ 0 & 0 & a_3 & 1 & 0 & \cdots & 0 & 0 \\ \vdots & \vdots & \vdots & \vdots & \vdots & \ddots & \vdots & \vdots \\ 0 & 0 & 0 & 0 & 0 & \cdots & a_{n-1} & 1 \\ 0 & 0 & 0 & 0 & 0 & \cdots & 1 & a_n \end{pmatrix}$$

단, a_i 는 i 번째 셀에 대한 규칙이 90인 경우는 0이고, 150인 경우는 1이다. 간단히 $T_n = \langle a_1, a_2, \dots, a_n \rangle$ 으로 나타내기로 한다.

〈예제 1〉 $T_5 = \langle 1, 1, 1, 1, 0 \rangle$ 이 주어진 5-셀

90/150 CA의 상태전이행렬이라 하면, 특성다항식은 $f(x) = x^5 + x^2 + 1$ 이고 이는 원시다항식이다. 따라서 최대길이를 갖는 90/150 CA이다. <그림 1>은 주어진 CA의 구조를 보여준다.



<그림 1> 최대길이를 갖는 5-차 90/150 CA의 구조

LFSR을 표현하는 동반행렬은 특성다항식과 최소다항식이 항상 같다. 그러나 LFSR보다 난수성이 우수하다고 알려진 CA는 일반적으로 특성다항식과 최소다항식이 같지 않다. 다음의 정리는 특성다항식과 최소다항식이 항상 같은 CA에 관한 정리이다.

〈정리 1[13]〉 상태전이행렬이 T_n 인 임의의 n -셀 90/150 CA에 대하여, T_n 의 최소다항식은 T_n 의 특성다항식과 같다.

〈정의 1[14]〉 s_0, s_1, \dots 를 GF(2)위의 특성다항식이 $f(x) = x^n + d_{n-1}x^{n-1} + \dots + d_1x + 1$ 인 n 차 선형점화식을 만족하는 동차 선형점화수열들 중에서 다음의 선형점화식에 의하여 유일하게 얻어진 수열을 충격반응수열이라 한다.

$$s_{t+n} = d_{n-1} \cdot s_{t+n-1} + d_{n-2} \cdot s_{t+n-2} + \dots + d_1 \cdot s_{t+1} + s_t$$

여기서 $s_0 = s_1 = \dots = s_{n-2} = 0$, $s_{n-1} = 1$ 이고 $t = 0, 1, \dots$ 이다.

예를 들어 선형점화식이 $s_{t+5} = s_{t+2} + s_t$ 인 충격반응수열은 다음과 같다.

$$0000100101100111110001101110101\dots$$

〈예제 2〉 〈예제 1〉의 최대길이를 갖는 5-셀 90/150 CA의 첫 번째 셀에 대한 각 셀들의 위상이동차를 구해 보자. [표 1]은 초기상태 00001에 대한 CA의 상태전이표이며, 첫째 셀에 대한

둘째, 셋째, 넷째, 다섯째 셀의 위상이동차 13, 29, 8, 9는 [표 1]에서 확인할 수 있다.

[표 1] 90/150 CA의 상태전이

0	00001	11	00100	22	11111
1	00010	12	01110	23	01111
2	00111	13	10101	24	10111
3	01011	14	10100	25	10011
4	11001	15	10110	26	11101
5	00110	16	10001	27	01000
6	01001	17	11010	28	11100
7	11110	18	00011	29	01010
8	01101	19	00101	30	11011
9	10000	20	01100	31	00001
10	11000	21	10010	⋮	⋮

다음은 충격반응수열을 이용한 최대길이를 갖는 n -셀 90/150 CA의 위상이동차를 계산하는 방법을 제시한다.

<정리 2> 최대길이를 갖는 n 차 90/150 CA의 상태전이 행렬 T 의 특성다항식을 $f(x) = x^n + d_{n-1}x^{n-1} + \dots + d_1x + 1$ 라 하자. CA의 초기상태 벡터 $v_0 = (00\dots 01)$ 에 대하여 행렬 P 를 다음과 같이 정의하자.

$$P = \begin{pmatrix} v_0 \\ v_0 T \\ v_0 T^2 \\ \vdots \\ v_0 T^{n-1} \end{pmatrix}$$

P 의 j 열 벡터 $(p_{1j}, p_{2j}, \dots, p_{nj})^t$ 와 선형점화식 $s_{t+n} = d_{n-1} \cdot s_{t+n-1} + d_{n-2} \cdot s_{t+n-2} + \dots + d_1 \cdot s_{t+1} + 1$ 에 대하여 $(s_{nk}, s_{nk+1}, \dots, s_{nk+n-1})^t = (p_{1j}, p_{2j}, \dots, p_{nj})^t$ 이 성립할 때, CA의 첫째 셀에 대한 j 번째 셀의 위상이동차는 $-nk \pmod{2^n - 1}$ 이다.

<예제 3> <예제 1>의 최대길이를 갖는 5-셀 90/150 CA에 대한 행렬 P 는 다음과 같다.

$$P = \begin{pmatrix} 00001 \\ 00010 \\ 00111 \\ 01011 \\ 11001 \end{pmatrix}$$

선형점화식이 $s_{t+5} = s_{t+2} + s_t$ 인 충격반응수열은 [표 2]와 같다. 행렬 P 의 각 열벡터 $(00011)^t, (00100)^t, (01110)^t, (10111)^t$ 에 대하여 <정리 2>를 만족하는 nk 는 80, 95, 85, 115이다. 따라서 <정리 2>에 의하여 각 셀의 위상이동차는 13, 29, 8, 9이다.

[표 2] 선형점화식 $s_{t+5} = s_{t+2} + s_t$ 의 충격반응수열

00001	00101	10011	11100	01101	11010	10000	10010
11001	11110	00110	11101	01000	01001	01100	11111
00011	01110	10100	00100	10110	01111	10001	10111
01010	00010	01011	11000	11011	10101	00001	01010

[표 3]은 충격반응수열을 이용한 최대길이를 갖는 셀 률라 오토마타의 위상이동차 계산 알고리즈다.

[표 3] CA의 위상이동차 계산 알고리즘

Input : 셀의 수 n , CA의 전이행렬 T_n

Output : 셀의 위상이동차 PS[n]

Step 1. T_n 과 v_0 에 대하여 P 를 구한다.

Step 2. T_n 의 특성다항식 $m(x)$ 를 계산한다.

Step 3. $m(x)$ 를 선형점화식으로 하는 충격반응수열을 구한다.

Step 4. P 의 j 열 $(p_{1j}, p_{2j}, \dots, p_{nj})^t, j=2, \dots, n$ 에 대하여

$(s_{nk}, s_{nk+1}, \dots, s_{nk+n-1})^t = (p_{1j}, p_{2j}, \dots, p_{nj})^t$ 이 성립하는 $nk[j]$ 를 구한다.

Step 5. $PS[1]=0, PS[j]=-nk[j] \pmod{2^n - 1} (j=2, \dots, n)$

III. 결론 및 향후연구과제

본 논문에서는 PN수열을 생성하는 최대길이를 갖는 90/150 CA의 셀들의 위상이동차를 계

산하는 새로운 방법으로, 주어진 CA의 상태전이 행렬의 특성다항식에 의한 동차 선형점화식을 만족하는 충격반응수열을 이용하여 계산하는 알고리즘을 제안하였다. 제안한 알고리즘의 계산복잡도는 $O(2^n)$ 이다. 향후에는 계산복잡도를 줄이는 방법에 대하여 연구할 예정이다.

[참고문헌]

- [1] S. Wolfram, "Statistical Mechanics of Cellular Automata", Rev. Mod. Phys. 55, pp. 601-644, 1983.
- [2] P.H. Bardell, "Analysis of Cellular Automata Used as Pseudorandom Pattern Generators", Proc. IEEE Int. Test. Conf. pp. 762-767, 1990.
- [3] A.K. Das and P.P. Chaudhuri, "Vector Space Theoretic Analysis of Additive Cellular Automata and its Application for Pseudo-Exhaustive Test Pattern Generation", IEEE Trans. Comput. 42, pp. 340-352, 1993.
- [4] S. Tezuka and M. Fushimi, "A Method of Designing Cellular Automata as Pseudorandom Number Generators for Built-In Self-Test for VLSI", Contemporary Mathematica 168, pp. 363-367, 1994.
- [5] P. Sarkar, "Computing Shifts in 90/150 Cellular Automata Sequences", Finite Fields Their Appl. 42, pp. 340-352, 2003.
- [6] S.J. Cho, U.S. Choi and H.D. Kim, "Analysis of Complemented CA Derived from a Linear TPMACA", Computers and Mathematics with Applications 45, pp. 689-698, 2003.
- [7] S.J. Cho, U.S. Choi and H.D. Kim, "Behavior of Complemented CA whose Complement Vector is Acyclic in a Linear TPMACA", Mathematical and Computer Modelling 36, pp. 979-986, 2002.
- [8] S. Nandi and P.P. Chaudhuri, "Additive Cellular Automata as an On-Chip Test Pattern Generator", Test Symposium 1993, Proceedings of the Second Asian, IEEE, pp. 166-171, 1993.
- [9] P. Sarkar, "The Filter-Combiner Model for Memoryless Synchronous Stream Ciphers", in Proceedings of Crypto 2002, Lecture Notes in Computer Science, Springer, Berlin 2442, pp. 533-548, 2002.
- [10] 최언숙, 조성진, "최대길이를 갖는 셀룰라 오토마타의 생성", 정보보호학회논문지, 14(6), pp. 25-30, 2004.
- [11] 조성진, 최언숙, 황윤희, 김한두, 표용수, "GF(2^p) 위에서의 SACA의 상태전이 분석", 정보보호학회논문지, 15(2), pp. 105-111, 2005.
- [12] S.J. Cho, U.S. Choi, Y.H. Hwang, Y.S. Pyo, H.D. Kim, K.S. Kim and S.H. Heo, "Computing Phase Shifts of Maximum-Length 90/150 Cellular Automata Sequences", LNCS 3305, pp. 31-39, 2004.
- [13] M. Serra, T. Slater, J.C. Muzio and D.M. Miller, "The Analysis of One Dimensional Linear Cellular Automata and Their Aliasing Properties", IEEE Trans Computer-Aided Design, 9, pp. 767-778, 1990.
- [14] R. Lidl and H. Niederreiter, *Finite Fields*, Cambridge University Press, 1997.